

メモリ消費電力に基づく CPU 周波数動的制御手法の評価

三輪 真 弘[†] 中島 耕 太[†] 平井 聡[†]
風間 哲[†] 原 靖[†] 成瀬 彰[†]

本論文では、メモリ消費電力に基づく CPU 周波数動的制御手法について述べる。既存の研究事例では、実行中のアプリケーションが Memory-bound である場合に CPU 周波数を低く設定することで、性能低下を抑えつつ省電力を実現している。実行中のアプリケーションが、Memory-bound かどうかのアプリケーション特性 (アプリ特性) の判定は Performance Monitoring Counter (PMC) に基づき行う。しかし、PMC はマシン異常監視 (nmi watchdog) やプロファイラでの利用など様々な用途で利用されるため、PMC を CPU 周波数の制御に利用するとこれらの用途への利用が制限される。さらに、アプリ特性を PMC によって判定すると、アプリ特性判定のソフトウェア処理がターゲットホスト上で走行するため CPU リソースを消費する問題がある。

本論文では、メモリ消費電力に基づきアプリ特性を判定する手法を提案する。Memory-bound であるアプリケーションの実行時にメモリ消費電力が高く、CPU-bound であるアプリケーションの実行時にメモリ消費電力が低い特性を利用して、メモリ消費電力によりアプリ特性を判定する。そして、メモリ消費電力が高い場合に CPU 周波数を低く設定し、省電力化する。提案手法は、メモリ消費電力を用いるため PMC の用途を制限しない。さらに、提案手法はセンサー情報に基づくため、外部サーバコントローラから利用可能であり、この場合、アプリ特性判定が CPU リソースを消費せずに可能となる。評価では、NPB ベンチマーク 8 種を用い、5% の性能低下制限のもと CPU 周波数制御を行い、CPU 消費電力量削減の効果を調査した。評価の結果、平均 3% の性能低下に対し、平均 5% の CPU 消費電力量を削減できた。特に、IS ベンチマークでは 5% の性能低下に対し、15% の CPU 消費電力量の削減を確認できた。また提案手法は、Last Level Cache Miss イベントを利用した PMC の手法に対し同程度の効果を確認でき、本手法の有効性が確認できた。

Evaluation of Dynamic Voltage and Frequency Scaling Adaptation based on Memory Power

MASAHIRO MIWA,[†] KOHTA NAKASHIMA,[†] AKIRA HIRAI,[†]
SATOSHI KAZAMA,[†] YASUSHI HARA[†] and AKIRA NARUSE[†]

This paper presents a novel approach of DVFS adaptation based on memory power. We find that memory power strongly correlates with CPU Frequency Dependency (the degree of application performance affected by CPU frequency). CPU-bound application consumes low memory power and Memory-bound application consumes high memory power. We make a CPU frequency scaling by memory power. So, our proposal method does not need to use the Performance Monitoring Counter that most of prior works use in order to decide CPU frequency scaling. Our method uses data acquired by sensor and could be implemented on BMC (Baseboard Management Controller), and in that case, no overhead is needed in target host for CPU frequency control. Experiment results using NPB show that under 3% performance loss (average), we could save 5% CPU energy (average) and especially for IS benchmark, 15% energy saving was achieved under 5% performance loss.

1. はじめに

省電力への要求はますます高まっている。モバイル機器に限らず、PC・サーバにも省電力は求められており、PC・サーバにとって「省電力」は「高性能」に並

び、重要な要件になっている。近年のプロセッサには、DVFS (Dynamic Voltage and Frequency Scaling) と呼ばれる CPU の周波数および電圧を変更する機構がある。CPU の消費電力は、周波数と電圧の二乗の積となるため、低 CPU 周波数、低電圧にすることで CPU 消費電力を小さくすることができる [10]。DVFS を活用した例に、Linux の Ondemand Governor [8] がある。Ondemand Governor は、CPU 使用率に応じて

[†] (株) 富士通研究所
Fujitsu Laboratories Ltd.

CPU 周波数を制御する手法であり、低 CPU 使用率時には低 CPU 周波数、高 CPU 使用率時には高 CPU 周波数に設定する。低 CPU 使用率時に CPU 周波数を低く設定してもシステム性能に対する影響は小さいため、性能を維持し、省電力化できる。

また、CPU 使用率が高い場合にシステム性能低下を抑えつつ、CPU 周波数を制御し、省電力化する研究がある。この研究では、実行中のアプリケーションが CPU-bound か Memory-bound かどうかのアプリケーション特性 (アプリ特性) を調査し、アプリ特性が Memory-bound である場合に CPU 周波数を低く設定することで省電力化を実現している。Memory-bound であるアプリケーションの実行性能はメモリ処理速度に決定付けられるため、Memory-bound であるアプリケーションの実行時に CPU 周波数を低く設定しても性能低下は小さい。この手法は広く研究されており [1-6]、多くの研究事例では、実行中のアプリ特性を PMC (Performance Monitoring Counter) によって判定している [1-5]。しかし、PMC はマシン異常監視 (nmi watchdog) や Vtune などの性能解析ツールといった様々な用途に用いられるため、CPU 周波数制御のためのアプリ特性判定に PMC を用いるとこれらと同時に利用できない場合がある。また、PMC を用いるとアプリ特性判定のためにソフトウェア処理が走行し、CPU リソースを消費するが、理想的にはアプリ特性判定に CPU リソースは消費しないことが望ましい。

本論文では、メモリ消費電力に基づく CPU 周波数制御手法を提案する。Memory-bound であるアプリケーションの実行時は、メモリアクセスが多いためメモリ消費電力は高いと考えられる。一方、CPU-bound であるアプリケーションの実行時は、メモリアクセスが少ないためメモリ消費電力は低いと考えられる。そこでメモリ消費電力に基づき、実行中のアプリ特性を判別する。メモリ消費電力が高い場合には当該アプリケーションは Memory-bound であると判別できると考えられる。そこでこの場合、CPU 周波数を低く設定することで、性能低下を抑え、省電力化を実現する。提案手法はメモリ消費電力のみを指標として利用するため、PMC の用途を制限しない。また、メモリ消費電力はセンサー情報であるため、外部サーバコントローラからメモリ消費電力の取得およびそれに基づく CPU 周波数の制御を行えば、ターゲットホストの CPU リソースを消費しないアプリ特性の判定と CPU 周波数制御が実現できる。

メモリ消費電力に基づくアプリ特性判別が可能かどうかの検証のため、さまざまなアプリケーションの集

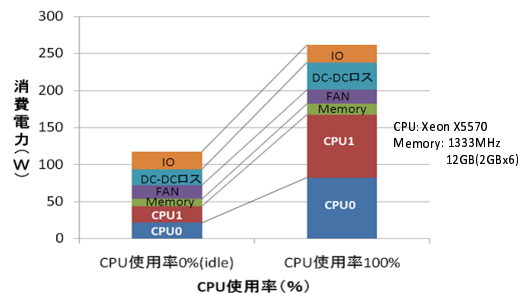


図 1 サーバコンポーネント毎の電力

合である SPEC CPU2006 ベンチマークを用いた調査を行った。その結果、本論文で定義するアプリ特性の定量的な指標である CPU 周波数依存度と実行時の平均メモリ消費電力の相関係数は-0.93 と高く、メモリ消費電力がアプリ特性判定に有効であることを確認できた。

評価では、NPB ベンチマーク 8 種を用い、5%の性能低下制限のもとに CPU 周波数制御を行い、CPU 消費電力量削減の効果の調査した。評価の結果、平均 3%の性能低下に対し、平均 5%の CPU 消費電力量を削減できた。特に、IS ベンチマークでは 5%の性能低下に対し、15%の CPU 消費電力量の削減を確認できた。また提案手法は、Last Level Cache Miss イベントを利用した PMC の手法に対し同程度の効果を確認でき、本手法の有効性が確認できた。

本稿の構成は以下の通り。2 章では、本論文の対象とする課題の説明と従来手法について述べる。3 章では、メモリ消費電力がアプリ特性の判定に有効であることを示す。4 章では、メモリ消費電力に基づく CPU 周波数制御手法を評価する。5 章では、関連研究について述べる。6 章では、まとめと今後の課題について述べる。

2. CPU 周波数制御による消費電力量の削減

本章では、本論文の扱う課題と、従来技術について説明する。

2.1 サーバに占める CPU 消費電力

近年の PC・サーバは、CPU の idle、低負荷時には CPU の省電力技術により、省電力化が達成されている。図 1 は、CPU やメモリなどの電力を個別に取得可能な電力測定ボードを利用し、サーバ消費電力の内訳を調査した結果である。図 1 の左側が idle 時、右側が CPU 使用率 100%の高負荷時の結果である。idle 時と高負荷時を比較すると、idle 時は CPU の消費電力が小さい。一方、高負荷時は CPU 消費電力が大きい。

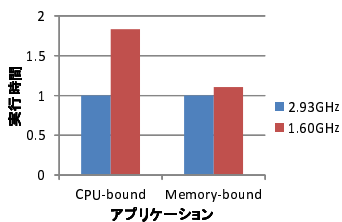


図 2 アプリ特性の違いによる CPU 周波数の性能への影響

高負荷時に CPU 消費電力が大きくなるのは、高負荷 (CPU 使用率 100%) 時は、CPU 周波数が高 CPU 周波数に設定されるためである。高負荷時には、サーバ全体の消費電力に占める CPU の割合が大きく、サーバ消費電力を占める第一要因となっていることがわかる。したがって、CPU 使用率が高い場合の PC・サーバの省電力化を実現するには、CPU の省電力化が必要である。そこで、本論文では高負荷時の CPU 省電力化を対象とする。

2.2 アプリ特性を利用した CPU 周波数制御手法

2.2.1 アプリ特性と CPU 周波数依存度

表 3 評価環境

CPU	Intel Xeon X5570 @2.93 GHz
Memory	DDR3 1333MHz 12GB(4GBx3)
OS	CentOS 5.7

CPU 使用率が高い場合のアプリ特性は大きく 2 つに分けることができる。それらはそれぞれ CPU-bound, Memory-bound と呼ばれる。CPU-bound であるアプリケーションは、キャッシュミスが少なく、メモリアクセスが少ない。一方、Memory-bound であるアプリケーションは、キャッシュミスが多く、メモリアクセスが多い。Memory-bound であるアプリケーションの実行時は、CPU 周波数を低く設定しても、その性能に与える影響は小さい。この理由は、Memory-bound であるアプリケーションは、メモリ処理速度によってアプリケーションの実行性能は決定され、CPU 処理速度は大きな影響を与えないためである。図 2 は、CPU-bound 及び Memory-bound であるアプリケーション実行時の CPU 周波数を変更したときのそれぞれの性能である。表 3 に調査に用いた環境を示す。実際に、CPU-bound であるアプリケーションは、CPU 周波数の違いによる性能差が大きく、Memory-bound であるアプリケーションは、CPU 周波数の違いによる性能差が小さいことが確認できる。

これまでアプリ特性を CPU-bound, Memory-

	クロック 周期 (ns)	CPU- bound(sec)	Memory- bound(sec)
2.93GHz	0.3417	33.36	85.67
1.60GHz	0.6265	61.19	94.98
実行時間増加率 (%)		83.35	83.42

	CPU- bound	Memory- bound
CPU 周波数依存度 (%)	100	13

bound と分類したが、例えば Memory-Bound といってもその程度は様々である。そこで、アプリ特性を定量的に議論するために、CPU 周波数依存度を導入する。CPU 周波数依存度は、CPU 周波数の変動に対する実行時間の増加の割合であり、(1) 式によって算出できる。具体的には、CPU 周波数依存度は、CPU 周波数を変更したときのクロック周期の増加率に対する、アプリケーションの実行時間の増加率から算出することができる。(1) 式によると、図 2 のアプリケーションでは、CPU-bound アプリケーションでは CPU 周波数依存度 100%、Memory-bound アプリケーションでは CPU 周波数依存度 13% となる (表 1, 表 2)。

$$(\text{CPU 周波数依存度}) = \frac{(\text{アプリの実行時間の増加率})}{(\text{クロック周期の増加率})} \quad (1)$$

2.2.2 CPU 周波数の制御

一般に CPU 周波数を低く設定すると CPU 消費電力は削減される。特に、Memory-bound であるアプリケーションの実行時は、CPU 周波数を低く設定することによる性能低下が小さく実行時間はほとんど増加しないため、CPU 消費電力量も削減される。一方、CPU-bound であるアプリケーションの実行時に CPU 周波数を低く設定すると実行時間が増加するため、CPU 消費電力量は削減できるとは限らない。さらに、CPU 以外のコンポーネントの消費電力量は、実行時間の増加に比例する。したがって、消費電力量を削減するには、性能低下率を一定以内に抑制するよう CPU 周波数の制御を行う必要がある。

ここでは、アプリケーションの CPU 周波数依存度より、性能低下率を一定以内に抑制しつつ、下限となる CPU 周波数を設定する制御方法を文献 [1] をもとに説明する。

最高周波数 f_{max} におけるアプリケーションの実行時間は、CPU 周波数に性能が依存する時間 ($T_{f_{max}cpu}$) と CPU 周波数に性能が依存しない時間 ($T_{f_{max}mem}$)

に分けられる ((2) 式).

$$T_{f_{max}} = T_{f_{max}cpu} + T_{f_{max}mem} \quad (2)$$

CPU 周波数を f_{max} から f に変更したときの実行時間は (3) 式の通り表される.

$$T_f = \frac{f_{max}}{f} T_{f_{max}cpu} + T_{f_{max}mem} \quad (3)$$

したがって, CPU 周波数を f_{max} から f に変更したときの実行時間の増分は, (5) 式の通り表される.

$$T_f - T_{f_{max}} = \frac{f_{max}}{f} T_{f_{max}cpu} - T_{f_{max}cpu} \quad (4)$$

$$= \left(\frac{f_{max}}{f} - 1\right) T_{f_{max}cpu} \quad (5)$$

CPU 周波数依存の時間 $T_{f_{max}cpu}$ は, CPU 周波数が f_{max} の場合の全実行時間 $T_{f_{max}}$ に CPU 周波数依存度 (d) を掛けることで求められ, 実行時間の増分は (6) 式で表すことができる.

$$T_f - T_{f_{max}} = \left(\frac{f_{max}}{f} - 1\right) T_{f_{max}} * d \quad (6)$$

一方, 性能の低下率 (PF_{Loss}) は, (7) 式で表される.

$$PF_{Loss} = \frac{T_f - T_{f_{max}}}{T_{f_{max}}} \quad (7)$$

(6), (7) 式より, CPU 周波数 (f) は (8) 式で表される.

$$f = \frac{f_{max}}{PF_{Loss}/d + 1} \quad (8)$$

ここで, PF_{Loss} を性能低下率の上限と考えると, CPU 周波数 f は, CPU 周波数 f_{max} の場合に対し性能低下率の上限を満たす CPU 周波数となる.

2.3 従来技術とその課題

2つの異なる CPU 周波数でアプリケーションを事前に実行し, アプリケーションの CPU 周波数依存度を得る手法が考えられる. その場合, アプリケーション毎の個別分析を事前に必要とするため, 新たなアプリケーションへの対応に手間を要する. 事前解析なしにアプリ特性を判定する従来手法としては PMC を利用するものが多く [1-5], その多くは PMC の Last Level Cache(LLC) Miss の回数に基づきアプリ特性の判定を行う [2, 3, 5]. LLC Miss の発生は, メモリアクセスの発生へ繋がる. したがって, LLC Miss の回数が多ければ Memory-bound, 反対に少なければ CPU-bound であると判定することができる. しかし, PMC を用いる従来技術には以下の課題がある.

- PMC を占有する

PMC はマシン異常監視 (nmi watchdog), プロファイラなど多様な用途に利用される. PMC を CPU 周波数制御に利用するとこれらの用途に使用できない.

- CPU 周波数制御のオーバーヘッドが発生する
アプリ特性の判定は極力オーバーヘッドレスに実現できることが望ましい. しかし, PMC の手法では,

PMC の取得, アプリ特性の判別, CPU 周波数制御に CPU リソースが必要となる.

3. メモリ消費電力に基づく CPU 周波数依存度の算出

メモリ消費電力に基づく CPU 周波数制御の考え方について述べる. 実行中のアプリケーションが Memory-bound である場合, メモリアクセスが多いため, メモリ消費電力は高くなると考えられる. 一方, CPU-bound であるアプリケーションではメモリアクセスが少ないため, メモリ消費電力は低くなると考えられる. つまり, 反対にメモリ消費電力から, 実行中のアプリケーションが Memory-bound か CPU-bound かの特性を判定できる可能性が高い.

メモリ消費電力に基づくアプリ特性判定手法の実現可能性を調査するために, CPU 周波数依存度とメモリ消費電力の相関を調査する. 調査を行った環境を表 3 に示す. 調査用ベンチマークとして, SPEC CPU2006 ベンチマーク [11] を用いる. SPEC CPU2006 は, 整数演算系アプリケーション (INT), 浮動小数点演算系アプリケーション (FP) からなるベンチマークで, 実際的なアプリケーションの集合である. コンパイラは Intel Compiler 12 を用い, SPEC CPU2006 のワーキングセットは, train サイズを選択した. また, メモリアクセスの負荷を様々に変えるため, 各ベンチマークの多重度は 1 から 4 まで変更している. メモリ消費電力はアプリケーション実行時の平均消費電力である.

メモリ消費電力と CPU 周波数依存度の調査結果を図 3 に示す. 横軸はメモリ消費電力であり, 縦軸は CPU 周波数依存度である. メモリ消費電力と CPU 周波数依存度の相関を取ると, -0.93 と高い負の相関係数を持つ. この場合, メモリ消費電力が高いほど, CPU 周波数依存度は低く, メモリ消費電力が小さいほど, CPU 周波数依存度が高いことを意味する. 相関係数が高いため, メモリ消費電力から高い精度で CPU 周波数依存度を得る式は, 回帰分析により容易に求めることができる (図 3 中の式). そこで本手法では, CPU 周波数依存度を求めるためのモデル式を SPEC CPU2006 ベンチマークの調査結果により, 機械的に生成した. このように本手法ではメモリ消費電力に基づいてアプリ特性を判別する.

メモリ消費電力に基づく CPU 周波数制御は, 以下の特徴を持つ.

- PMC を利用しない

PMC をマシン異常監視 (nmi watchdog) やプロファ

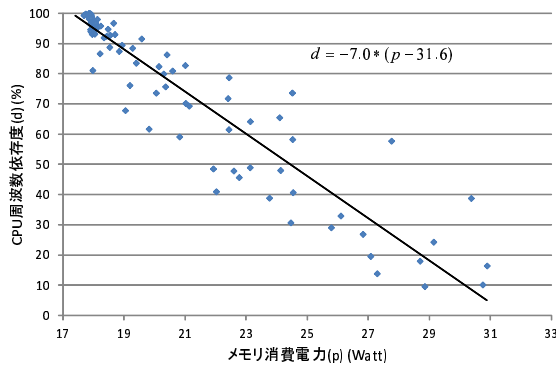


図3 メモリ消費電力 (p) と CPU 周波数依存度 (d) の相関

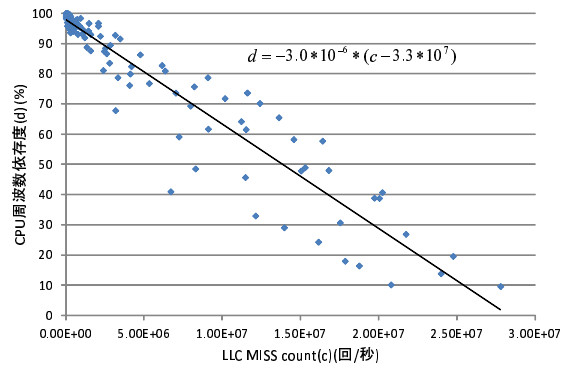


図4 LLC Miss 回数 (c) と CPU 周波数依存度 (d) の相関

イラといった用途に用いつつ、省消費電力の制御を実現できる。

- オーバーヘッドなくアプリ特性を判定できる
メモリ消費電力というセンサーデータを利用すれば、BMC(Baseboard Management Controller)といった外部サーバコントローラを利用してCPU周波数制御が可能であるため、ターゲットホスト上で、CPU周波数制御のためのソフトウェア処理をなくすることができる。

4. 提案手法の評価

本章では、推定したCPU周波数依存度に基づいてCPU周波数を決定する方法と、これを実装し、NPBベンチマークで評価した結果を述べる。

4.1 実装

4.1.1 設定するCPU周波数の算出

図3中の回帰式を利用し、メモリ消費電力からCPU周波数依存度を得、得られたCPU周波数依存度および性能低下率の上限を(8)式に与えることで、性能低下率の上限を満たすCPU周波数を得ることができる。

4.1.2 CPU周波数制御のパラメータ

CPU周波数の制御は、1秒および100ミリ秒間隔で行う。これにより、制御間隔の違いによるCPU周波数制御の効果の確認を行う。また、評価環境で設定可能なCPU周波数は、ベース周波数133MHzの通信である1.60から2.93GHzの間の11通りであるため、設定するCPU周波数は、(8)式より算出したCPU周波数 f より大きい設定可能な周波数のうち、最小のCPU周波数を選択する。

4.2 評価方法

4.2.1 評価項目

性能低下率の上限は5(%)とし、性能の低下率およびCPU消費電力量の削減効果を調査する。評価

には、NAS Parallel Benchmark (NPB)(version 3.2, OpenMP版)を用いた[12]。NPBから8種類のベンチマークを評価に利用し、問題サイズはCサイズ、実行スレッド数は4スレッドとしている。コンパイラは、Intel Compiler 12を用いた。

4.2.2 PMC手法との比較

従来手法であるPMCによる手法に対する比較評価を行う。従来手法の多くは、LLC Missの回数に基づきアプリ特性判定を行う[2, 3, 5]。そこで、Nehalemアーキテクチャが有するUncoreのPMCを利用し、UNC.L3.MISS.ANY(EventNum 09H, Umask Value: 03H)イベントを採用した[9]。モデル生成のために、PMCのカウンタ値とCPU周波数依存度の相関調査を行った。調査には、メモリ消費電力モデル作成時と同様、SPEC CPU2006のtrainセットを用いる。

調査の結果を図4に示す。横軸がLLC Missの回数であり、縦軸がCPU周波数依存度である。LLC Missの回数が多いほど、CPU周波数依存度が低い。LLC Missの回数とCPU周波数依存度との相関係数は-0.95である。LLC Missの回数を利用したモデルも回帰分析により容易に得られ、得られた式(図4中の式)に基づき、アプリ特性判定を行う。

CPU周波数の決定方法および制御アルゴリズムは、メモリ消費電力を利用する場合と同様であり、CPU周波数依存度を算出するモデル式のみが異なる。

4.3 評価環境

評価環境を表3に示す。表3の評価環境は、微小抵抗が各コンポーネントの電源ラインに挿入されている電力測定ボードである。このボードを利用し、メモリ消費電力の測定を行う。メモリ消費電力は、3枚のDIMMモジュールおよびVTTの消費電力の和である。図9に電力測定ボードを示す。メモリモジュール

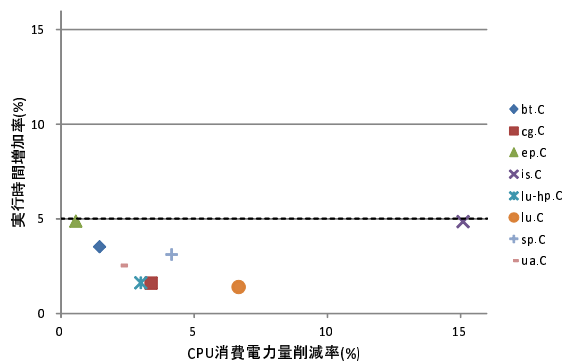


図 5 メモリ消費電力に基づく CPU 周波数制御 (1sec)

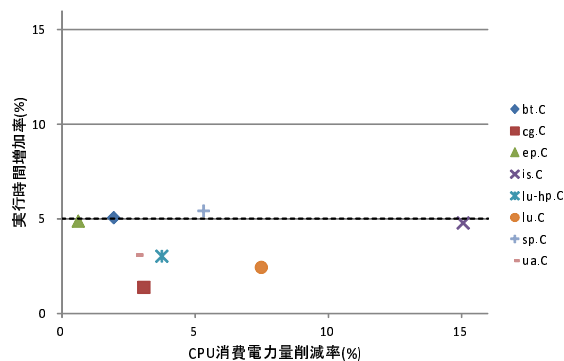


図 6 メモリ消費電力に基づく CPU 周波数制御 (100msec)

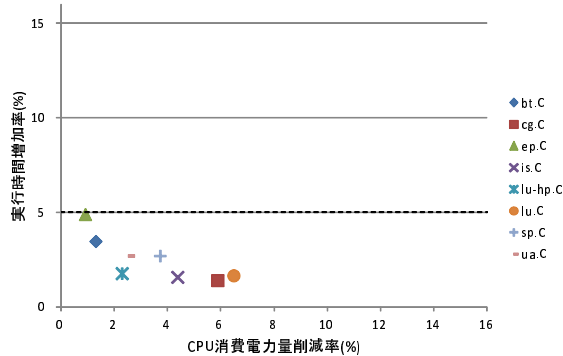


図 7 PMC に基づく CPU 周波数制御 (1sec)

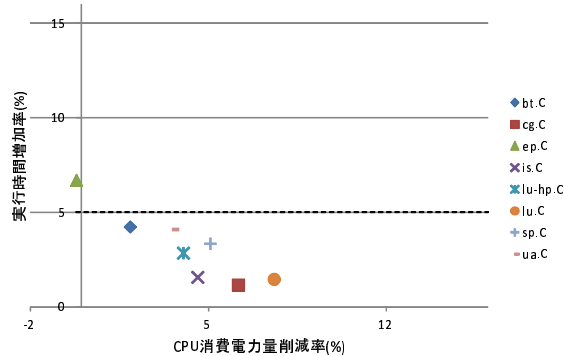


図 8 PMC に基づく CPU 周波数制御 (100msec)

ルの右隣など、ボード上に接続されているまだらの細かいケーブルが電力測定に利用されている。電力測定器は NI USB-6210(National Instrument 社)を用い、制御には nidaqmxbase-3.4.5 を利用している。電力取得間隔は 10msec である。現在は、メモリ消費電力の測定が可能な特別な環境を利用しているが、将来的には、CPU やメモリなどの主要コンポーネントは標準的な環境でも個別に消費電力測定が可能になると我々は考えている。



図 9 電力測定ボード

4.4 評価結果

各種制御手法のデフォルト設定 (2.93GHz) 時に対する CPU 消費電力量の削減率と実行時間の増加率を図 5, 図 6, 図 7, 図 8 に示す。結果は、各制御手法

と CPU 周波数の制御間隔毎にわけている。グラフの横軸は CPU 消費電力量の増加率で、縦軸が実行時間の増加率 (性能低下率) である。実行時間の増加率は、各々のベンチマークにおいて、メモリ消費電力に基づく CPU 周波数制御、PMC に基づく CPU 周波数制御のともにおおむね 5%の性能低下以下に抑えられている。メモリ消費電力および PMC に基づく手法のどちらにおいても、制御間隔による大きな違いはみられなかった。メモリ消費電力に基づく CPU 周波数制御の結果、CPU 周波数の制御間隔 1 秒、100 ミリ秒のともに同程度の CPU 消費電力削減効果であり、平均 5%CPU 消費電力量を削減できた。特に、IS ベンチマークでは 5%の性能低下で、15%の CPU 消費電力量の削減を確認できた。LLC Miss イベントを利用した PMC に基づく CPU 周波数制御の結果は、おおむねメモリ消費電力に基づく CPU 周波数制御結果と傾向が似ている。ただし、PMC に基づく CPU 周波数制御では、IS ベンチマークで性能低下が小さい分、CPU 消費電力量削減効果も小さい。この結果から、メモリ消費電力に基づくアプリ特性判定手法の有効性を確認した。

表 4 目標の性能低下率と実際の性能低下率 (メモリ消費電力に基づく CPU 周波数制御)

	memory 1sec			memory 100msec		
	目標 (%)	実際 (%)	(目標-実際)	目標 (%)	実際 (%)	(目標-実際)
bt.C	3.8	3.5	0.3	4.4	5.1	-0.6
cg.C	3.3	1.6	1.7	3.3	1.4	1.9
ep.C	4.8	4.9	-0.1	4.7	4.9	-0.2
is.C	2.0	4.9	-2.9	1.9	4.8	-2.9
lu-hp.C	4.3	1.6	2.7	3.8	3.0	0.7
lu.C	3.9	1.4	2.5	4.0	2.4	1.6
sp.C	4.1	3.1	0.9	3.9	5.4	-1.5
ua.C	2.7	2.5	0.2	3.7	3.1	0.6

表 5 目標の性能低下率と実際の性能低下率 (PMC に基づく CPU 周波数制御)

	pmc 1sec			pmc 100msec		
	目標 (%)	実際 (%)	(目標-実際)	目標 (%)	実際 (%)	(目標-実際)
bt.C	3.8	3.5	0.3	4.3	4.2	0.1
cg.C	4.8	1.4	3.4	4.9	1.2	3.7
ep.C	4.7	4.9	-0.2	4.5	6.7	-2.2
is.C	4.7	1.6	3.2	4.6	1.6	3.0
lu-hp.C	2.5	1.8	0.8	4.1	2.8	1.3
lu.C	4.1	1.7	2.4	4.3	1.5	2.8
sp.C	3.7	2.7	1.0	4.0	3.3	0.6
ua.C	2.8	2.7	0.0	4.1	4.1	0.0

4.5 考 察

評価では性能低下率の上限を 5% に設定したが、実際の性能低下率は、制御手法やベンチマークによってばらつきがある。これには以下の 2 つの要因が考えられる。

(1) 設定可能な CPU 周波数の制限

CPU 周波数は、ベース周波数 (133MHz) を通じたものである。したがって、(8) 式より算出した CPU 周波数ちょうどには、CPU 周波数を設定できない場合がある。この場合、(8) 式より算出された CPU 周波数より高い設定可能な CPU 周波数のうち、最も低い CPU 周波数を設定している。このようにすると、選択した CPU 周波数による性能低下の割合は、指定したもののより低くなる。

(2) CPU 周波数依存度の推定ミス

図 3 中式や図 4 中式のモデルから外れるために、性能低下が大きくまたは小さくなってしまふことがある。例えば CPU 周波数依存度が高い (CPU-bound) と判定し、性能低下を制限内に抑えるために CPU 周波数はあまり低くしなかったが、実際は CPU 周波数依存度が低く (Memory-bound)、性能がほとんど低下しなかった、などのケースが考えられる。以下では、後者の CPU 周波数依存度の判定ミスを明らかにするため、各種制御手法で、実際に設定する CPU 周波数を元に決まるアプリケーションの性能低下率 (目標) と実際の性能低下率 (実際) を調査し、アプリ特性判定の精度を評価する。表 4、表 5 にその結果を示す。目標とする性能低下率と実際の性能低下率が各列に対応してお

り、各行はベンチマーク名である。調査の結果、メモリ電力に基づく CPU 周波数制御、PMC に基づく CPU 周波数制御のともに、概ね半数のベンチマークで、ほぼ目標通りに制御できたといえる。ただし、一部目標の性能低下率と実際の性能低下率の差が大きいものがあるため、それらの改善に取り組む必要がある。

5. 関連研究

DVFS を利用した省電力化手法は広く研究されている。

Ondemand Governor [8] は、CPU 使用率に応じて CPU 周波数を制御する。システムの使用率が低い場合には CPU 周波数を低く設定することで、システムパフォーマンスへの影響を抑え、省電力化する。本論文では、CPU 使用率が高い場合を対象に省電力化を狙う。

本論文と同様、CPU 使用率が高い場合に CPU 周波数を低く設定することで、アプリケーションの実行に必要な消費電力量の削減を行う研究は多く行われている。文献 [2] では、実行中のアプリ特性の判定に PMC の LLC Miss イベントを利用し、消費電力量を削減する CPU 周波数制御を実現している。また、PMC のその他イベントを利用し、アプリ特性の判定を行うものもある [1, 4]。しかし、PMC はマシン異常監視 (nmi watchdog) や、Vtune などのプロファイラツールで用いられるため、PMC を CPU 周波数の制御に用いるとその用途が限定されてしまう。本論文では、アプリ特性判定にメモリ消費電力を利用する。メ

メモリ消費電力はセンサ情報であるため、外部サーバコントローラによる制御が可能であり、この場合、ターゲットホストはアプリ特性判定に CPU リソースを消費しない。他には、組込みプロセッサ向けにアプリ特性判定のための追加のハードウェアを用いる手法が存在する [6]。この方式は、プロセッサアーキテクチャの変更が必要となるが、提案手法は、メモリ消費電力を利用するため、プロセッサアーキテクチャの変更を必要としない。さらに、文献 [3] では PMC による手法に加え、未解決のキャッシュミス要求を格納する MSHR (Miss Status Holding Register) を用いる手法を評価している。しかし、MSHR の利用はプロセッサの実装依存となるところが大きい。

上記は、実行時情報に基づく手法であり、オンラインの手法と呼ばれる。一方、事前解析を行うオフラインの手法も存在する。オフラインの手法は、事前にアプリケーションの特徴を分析し、あらかじめ実行時の CPU 周波数を決定する手法である。佐々木ら [7] は、ソースコードを複数領域に分割し、PMC を利用し領域ごとに設定する CPU 周波数を決定する。続いて、決定した CPU 周波数を設定するための命令を各領域の先頭に挿入することで、アプリケーション実行時の CPU 周波数を制御する。オフラインの手法は、アプリケーション毎に事前解析を行う手間を要する。本手法はオンラインの手法であり、一度モデルを作成すれば、アプリケーション毎の事前解析は必要としない。

6. おわりに

本論文では、メモリ消費電力に基づく CPU 周波数動的制御手法の評価を行った。提案手法では、メモリ消費電力が CPU 周波数依存度と高い相関値を持つことから、メモリ消費電力によりアプリ特性を判定し、CPU 周波数を制御した。この手法により、CPU 使用率が高い場合に性能低下を抑えつつ CPU 周波数を低く設定でき、CPU 消費電力量を削減した。従来の PMC に基づく手法における PMC の用途を制限してしまう問題や、アプリ特性判定のためにオーバーヘッドが発生する課題を本手法により解決することができる。

評価では、NPB ベンチマーク 8 種を用い、5% の性能低下制限のもとにメモリ消費電力に基づく CPU 周波数制御を行い、CPU 消費電力量削減の効果の調査した。評価の結果、平均 3% の性能低下に対し、平均 5% の CPU 消費電力量を削減できた。特に、IS ベンチマークでは 5% の性能低下に対し、15% の CPU 消費電力量の削減を確認できた。また提案手法は、Last Level Cache Miss イベントを利用した PMC の手法

に対し同程度の効果を確認でき、本手法の有効性が確認できた。

今後の課題には、一部のベンチマークで目標の性能低下率と実際の性能低下率に差が大きくなった原因の調査と改善がある。

参 考 文 献

- 1) S. Huang and W. Feng, "Energy-Efficient Cluster Computing via Accurate Workload Characterization," in Proceedings of the 2009 9th IEEE/ACM International Symposium on Cluster Computing and the Grid, ser. CCGRID '09. Washington, DC, USA: IEEE Computer Society, 2009, pp. 68-75.
- 2) R. Schone, D. Hackenberg: On-line analysis of hardware performance events for workload characterization and processor frequency scaling decisions. In Proceeding of the second joint WOSP/SIPEW international conference on Performance engineering, ICPE '11, pages 481-486. ACM, 2011.
- 3) 近藤 正章, 中村 宏, "主記憶アクセスの負荷情報を利用した動的周波数変更による低消費電力化", 情報処理学会論文誌, Vol. 45, No. SIG 6(ACS 6), pp.1-11, 2004 年 5 月.
- 4) R. Kotla, S. Ghiasi, T. Keller and F. Rawson, Scheduling Processor Voltage and Frequency in Server and Cluster Systems, Proceedings of the 19th IEEE International Parallel and Distributed Processing Symposium, April 2005, pp 234-241.
- 5) Hrishikesh Amur, Karsten Schwan, Milos Prvulovic, Towards Optimal Power Management: Estimation of Performance Degradation due to DVFS on Modern Processors, Tech. Report GIT-CERCS-10-02.
- 6) P. Stanley-Marbell, M. Hsiao and U. Kremer, "A Hardware Architecture for Dynamic Performance and Energy Adaptation", Power-Aware Computer Systems, Lecture Notes in Computer Science 2325, Springer Verlag, 2002.
- 7) 佐々木 広, 浅井 雅司, 池田 佳路, 近藤 正章, 中村 宏, "統計情報に基づく動的電源電圧制御手法", 情報処理学会論文誌, Vol. 47, No. Sig18 (ACS16), pp.80-91, 2006 年 11 月.
- 8) V. Pallipadi, A. Starikovskiy, "The Ode-mand Governor: Past, Present, and Future," The Linux Symposium, 2006.
- 9) Intel, "Intel 64 and IA-32 Architectures Software Developer's Manual Volume 3B: System Programming Guide, Part 2", 2010.
- 10) Intel White Paper, "Enhanced Intel Speed-

Step Technology for the Intel Pentium M Processor³⁾, 2004.

- 11) SPEC CPU2006, <http://www.spec.org/cpu2006/>.
 - 12) Nas Parallel Benchmark, <http://www.nas.nasa.gov/>.
-